

## CONTROLODOR ROBUSTO PARA UM SISTEMA DE TANQUES ACOPLADOS

Eduardo Pereira Vieira<sup>1</sup>

### RESUMO

O presente trabalho consiste na utilização de técnicas avançadas para projetar um controlador robusto para realização do controle de nível de um sistema de tanques acoplados. O critério de desempenho adotado no projeto do controlador é o da  $D$ -estabilidade, a qual deriva da teoria da estabilidade de Hurwitz, bem como da teoria de Lyapunov. O projeto do controlador bem como os seus testes foram realizados tendo como base um modelo no espaço de estados, o qual foi previamente obtido.

**Palavras-chave:** Controle Robusto, Espaço de Estados, Estabilidade.

### ABSTRACT

*The present work consists in the use of advanced techniques to design a robust controller for level control of a system of coupled tanks. The performance criterion adopted in the controller design is that of  $D$ -stability, which derives from Hurwitz's theory of stability as well as that of Lyapunov. The design of the controller and its tests were performed based on a state space model, which was previously obtained.*

**Keywords:** Robust Control, State Space, Stability.

## 1. INTRODUÇÃO

O primeiro passo na concepção de um controlador é a obtenção de um modelo matemático para o sistema de controle com base em leis físicas. Diante desta condição surge um entrave importante quanto à modelagem do sistema: não importa o quanto um modelo seja bem detalhado, ele jamais será uma representação precisa de um sistema real e conseqüentemente será uma fonte de incertezas [1].

---

<sup>1</sup> Mestrando em Engenharia Elétrica pelo PPGEL - Programa de Pós Graduação em Engenharia Elétrica da Associação Ampla entre a Universidade Federal de São João Del-Rei - UFSJ e o Centro Federal de Educação Tecnológica de Minas Gerais - CEFET-MG. Graduado em Engenharia de Telecomunicações pela Universidade Federal de São João Del-Rei - UFSJ, Campus Alto Paraopeba. E-mail: eduardopereiravieira@yahoo.com.br

Uma das propostas da síntese de controladores robustos é lidar com problemas deste tipo. No projeto são feitas considerações sobre variações de parâmetros ou configurações do modelo e os ganhos do controlador são encontrados de forma a satisfazer requisitos mínimos de desempenho e que mantenham o sistema estável [1].

Neste trabalho é abordado um sistema MIMO (*Multiple-Input Multiple-Output*) de tanques acoplados. Este tipo de sistema é comum em várias aplicações na indústria, sendo, portanto, apto para investigação de problemas práticos da área de controle no ambiente didático. Seguindo as equações diferenciais que descrevem o comportamento de sistemas de nível de líquidos, foi obtido um modelo no espaço de estados para análise do comportamento do sistema em questão, bem como para o projeto do controlador. Optou-se pelo modelo de espaço de estados pelo fato do mesmo ser adequado a sistemas MIMO e também por possibilitar projetos de controladores utilizando técnicas avançadas [2].

O critério de estabilidade adotado neste trabalho é o da  $D$ -estabilidade. O conceito da  $D$ -estabilidade é uma generalização da estabilidade de Hurwitz e da estabilidade de Schur. Desta forma, são apresentadas condições de LMI (*Linear Matrix Inequalities*) que garantem a estabilidade de uma matriz de estados em uma dada  $D$ -região [3].

Na sequência do trabalho é apresentada primeiramente uma revisão da literatura sobre  $D$ -estabilidade e sobre a lei de controle de realimentação de estados  $u = Kx$ . Posteriormente é feita a modelagem do sistema no espaço de estados. Por fim são apresentados os experimentos realizados e os resultados obtidos, os quais são seguidos pela conclusão do trabalho.

## 2. REVISÃO DA LITERATURA

Considere o seguinte sistema linear contínuo no tempo:

$$\dot{x}(t) = Ax(t), \quad (1)$$

com  $A \in \mathbb{R}^{n \times n}$ . O sistema (1) é estável de acordo com a teoria de estabilidade de Lyapunov, ou equivalente, estabilidade de Hurwitz da matriz  $A$ , se e somente se existir uma matriz  $P \in \mathbb{S}^n$ , tal que as seguintes LMIs são satisfeitas:

$$\begin{cases} P > 0 \\ A^T P + PA < 0, \end{cases} \quad (2)$$

onde  $P$  é uma matriz simétrica definida positiva.

Seja  $D$  um domínio no plano complexo, que é simétrico em relação ao eixo real. Então, uma matriz  $A \in \mathbb{R}^{n \times n}$  é  $D$ -estável se:

$$\lambda_i(A) \in D, \quad i = 1, 2, \dots, n \quad (3)$$

Um caso típico de  $D$ -estabilidade, o mesmo que será abordado neste trabalho, consiste na condição (4) e requer que todos os autovalores da matriz  $A$  estejam localizados na região mostrada na Figura 1.

$$D = H_{\alpha, \beta} = \{x + jy \mid -\beta < x < -\alpha\} \quad (4)$$

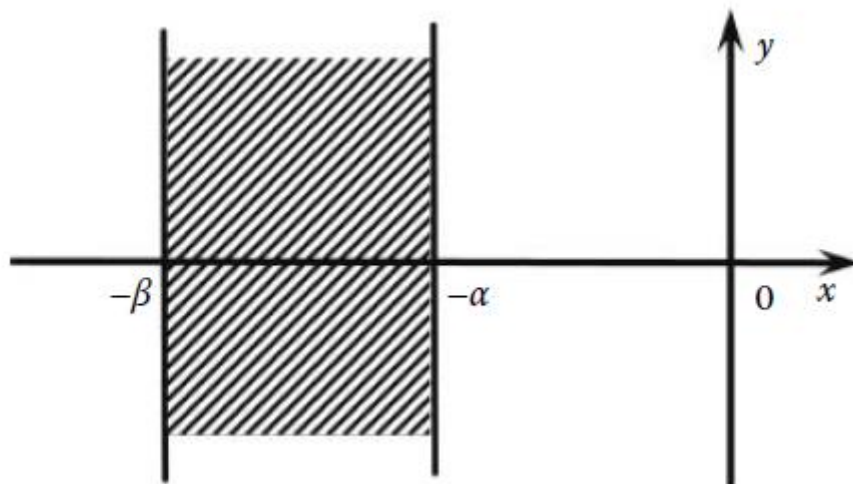


Figura 1 - Região  $H_{\alpha, \beta}$  [3]

Desta forma, a matriz  $A \in \mathbb{R}^{n \times n}$  é  $H_{\alpha, \beta}$  estável se e somente se existir uma matriz  $P \in \mathbb{S}^n$  que satisfaça as LMIs (5).

$$\begin{aligned} P &> 0 \\ A^T P + PA + 2\alpha P &< 0 \\ A^T P + PA + 2\beta P &> 0 \end{aligned} \quad (5)$$

A condição para a matriz  $A \in \mathbb{R}^{n \times n}$  ser  $H_{\alpha, \beta}$  estável é equivalente ao fato que ambos  $(A + \alpha I)$  e  $-(A + \beta I)$  são Hurwitz estável. De acordo com a Teoria de Estabilidade de Lyapunov,  $(A + \alpha I)$  é Hurwitz estável se e somente se para qualquer  $Q > 0$ , existir uma matriz  $P_\alpha \in \mathbb{S}^n$ ,  $P_\alpha > 0$ , tal que:

$$(A + \alpha I)^T P_\alpha + P_\alpha (A + \alpha I) = -Q; \quad (6)$$

Que pode ser convertida para:

$$A^T P_\alpha + P_\alpha A = -2\alpha P_\alpha - Q. \quad (7)$$

Enquanto  $-(A + \beta I)$  é Hurwitz estável se e somente se existir  $P_\beta \in \mathbb{S}^n$ ,  $P_\beta > 0$ , tal que:

$$(-A - \beta I)^T P_\beta + P_\beta (-A - \beta I) = -Q; \quad (8)$$

Que pode ser convertida para:

$$A^T P_\beta + P_\beta A = -2\beta P_\beta + Q. \quad (9)$$

Somando (7) e (9) resulta na Equação (10):

$$A^T (P_\alpha + P_\beta) + (P_\alpha + P_\beta) A = -2\alpha P_\alpha - 2\beta P_\beta \quad (10).$$

Seja:

$$P = P_\alpha + P_\beta > 0, \quad (11)$$

Fato que leva a Equação (10) a seguinte forma:

$$A^T P + P A = -2\alpha P_\alpha - 2\beta P_\beta. \quad (12)$$

Que significa:

$$A^T P + P A + 2\alpha P = 2(\alpha - \beta) P_\beta, \quad (13)$$

$$A^T P + P A + 2\beta P = 2(\beta - \alpha) P_\alpha. \quad (14)$$

Então desde que  $\alpha - \beta < 0$ , (5) é satisfeita.

### Ganho do Controlador

Conforme apresentado em (Duan & Yu, 2013), considerando a lei de controle de realimentação de estados  $u = Kx$  tal que o sistema (1) em malha fechada seja dado por:

$$\dot{x} = (A + BK)x. \quad (15)$$

Onde  $K$  representa o ganho do controlador. De acordo com a condição (5), o sistema é  $H_{\alpha,\beta}$  estável se e somente se existir uma matriz positiva simétrica  $P$  que satisfaça as seguintes condições:

$$(A + BK)P + P(A + BK)^T + 2\alpha P < 0 \quad (16)$$

$$-(A + BK)P - P(A + BK)^T - 2\beta P < 0 \quad (17)$$

Baseado nesta observação, o seguinte resultado é obtido:

$$AP + PA^T + BW + W^T B^T + 2\alpha P < 0 \quad (18)$$

$$-AP - PA^T - BW - W^T B^T - 2\beta P < 0 \quad (19)$$

E neste caso o ganho do controlador é dado por:

$$K = WP^{-1} \quad (20)$$

### 3. OBTENÇÃO DO MODELO NO ESPAÇO DE ESTADOS

Considere o sistema de tanques acoplados mostrada na Figura 2, abordado em (Ogata, 1997, p.121). Onde  $C_1$  e  $C_2$  representam as capacitâncias dos tanques, os quais são idênticos, e  $R_1$  e  $R_2$  as resistências impostas ao fluxo pelas respectivas válvulas.

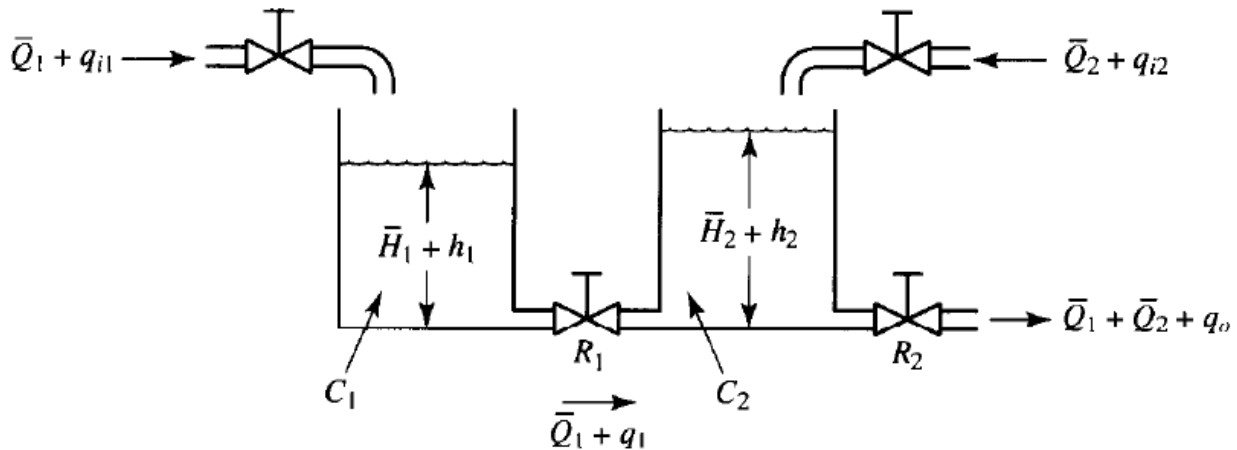


Figura 2 - Sistema de Tanques Acoplados [2]

No sistema em questão,  $h_1$  e  $h_2$  são as saídas e  $q_{i1}$  e  $q_{i2}$  as entradas. As equações que descrevem o comportamento deste sistema são:

$$C_1 dh_1 = (q_{i1} - q_1) dt \quad (21)$$

$$\frac{h_1 - h_2}{R_1} = q_1 \quad (22)$$

$$C_2 dh_2 = (q_1 - q_0) dt \quad (23)$$

$$\frac{h_2}{R_2} = q_0 \quad (24)$$

A substituição da Equação (22) na (21), resulta na seguinte equação:

$$\frac{dh_1}{dt} = \frac{1}{C_1} \left( q_{i1} - \frac{h_1 - h_2}{R_1} \right) \quad (25)$$

Agora substituindo as Equações (22) e (24) na (23), tem-se o seguinte resultado:

$$\frac{dh_2}{dt} = \frac{1}{C_2} \left( \frac{h_1 - h_2}{R_1} - \frac{h_2}{R_2} \right) \quad (26)$$

Definindo as variáveis de estado  $x_1$  e  $x_2$  como:

$$x_1 = h_1$$

$$x_2 = h_2.$$

As variáveis de entrada  $u_1$  e  $u_2$  como:

$$\mathbf{u}_1 = \mathbf{q}_{i1}$$

$$\mathbf{u}_2 = \mathbf{q}_{i2}$$

E as variáveis de saída  $y_1$  e  $y_2$  como:

$$\mathbf{y}_1 = \mathbf{h}_1 = \mathbf{x}_1$$

$$\mathbf{y}_2 = \mathbf{h}_2 = \mathbf{x}_2$$

As Equações (25) e (26) podem ser escritas como:

$$\dot{\mathbf{x}}_1 = -\frac{1}{R_1 C_1} \mathbf{x}_1 + \frac{1}{R_1 C_1} \mathbf{x}_2 + \frac{1}{C_1} \mathbf{u}_1 \quad (27)$$

$$\dot{\mathbf{x}}_2 = \frac{1}{R_1 C_2} \mathbf{x}_1 - \left(\frac{1}{R_1 C_2} + \frac{1}{R_2 C_2}\right) \mathbf{x}_2 + \frac{1}{C_2} \mathbf{u}_2 \quad (28)$$

E na forma padrão de representação vetor-matriz, tem-se:

$$\begin{bmatrix} \dot{\mathbf{x}}_1 \\ \dot{\mathbf{x}}_2 \end{bmatrix} = \begin{bmatrix} -\frac{1}{R_1 C_1} & \frac{1}{R_1 C_1} \\ \frac{1}{R_1 C_2} & -\left(\frac{1}{R_1 C_2} + \frac{1}{R_2 C_2}\right) \end{bmatrix} \begin{bmatrix} \mathbf{x}_1 \\ \mathbf{x}_2 \end{bmatrix} + \begin{bmatrix} \frac{1}{C_1} & \mathbf{0} \\ \mathbf{0} & \frac{1}{C_2} \end{bmatrix} \begin{bmatrix} \mathbf{u}_1 \\ \mathbf{u}_2 \end{bmatrix}, \quad (29)$$

que é a equação de estados, e

$$\begin{bmatrix} \mathbf{y}_1 \\ \mathbf{y}_2 \end{bmatrix} = \begin{bmatrix} \mathbf{1} & \mathbf{0} \\ \mathbf{0} & \mathbf{1} \end{bmatrix} \begin{bmatrix} \mathbf{x}_1 \\ \mathbf{x}_2 \end{bmatrix}, \quad (30)$$

a qual é a equação de saída.

É interessante ressaltar que na obtenção da equação de estados, o tipo de fluxo do líquido presente no sistema foi considerado como laminar.

Após a obtenção do modelo no espaço de estado, é necessário definir valores numéricos para as variáveis. Os valores adotados neste trabalho foram definidos aleatoriamente e tendo como base experimentos realizados em (Izquieta, 2011). Os valores admitidos para as capacitâncias dos tanques e para as resistências das válvulas estão especificados abaixo:

$$C_1 = C_2 = 72,25 \text{ cm}^2$$

$$R_1 = 0,0055$$

$$R_2 = 0,0109$$

Para estes valores a equação de estados fica da seguinte forma:

$$\begin{bmatrix} \dot{x}_1 \\ \dot{x}_2 \end{bmatrix} = \begin{bmatrix} -2.5204 & 2.5204 \\ 2.5204 & -3.7939 \end{bmatrix} \begin{bmatrix} x_1 \\ x_2 \end{bmatrix} + \begin{bmatrix} 0,0138 & 0 \\ 0 & 0,0138 \end{bmatrix} \begin{bmatrix} u_1 \\ u_2 \end{bmatrix} \quad (31)$$

#### 4. EXPERIMENTOS E RESULTADOS

Os experimentos e cálculos para obtenção do controlador foram realizados no software MATLAB.

Conforme o código abaixo, primeiramente o modelo do sistema no espaço de estados (31) foi declarado; em seguida foi realizada uma simulação deste sistema em malha aberta, para isto foi definido um estado inicial  $x_0 = [0.8 \ 0.7]'$  e gerada uma onda quadrada para fazer a função do sinal de perturbação. Esta primeira simulação foi realizada através da função *lsim*.

```
>> A = [-2.5204 2.5204; 2.5204 -3.7939];
>> B = [0.0138 0.0000; 0.0000 0.0138];
>> C = [1 0; 0 1];
>> D = [0 0; 0 0];
>> modelo = ss(A,B,C,D);
>> xo = [0.8; 0.75];
>> [u1,t] = gensig('square',5,40,0.1);
>> u2 = u1;
>> u = [u1 u2];
>> lsim(modelo,u,t,xo)
```

O resultado da simulação do sistema em malha aberta é mostrado na Figura 3. É possível perceber que por natureza o sistema apresenta certo grau de estabilidade, mas ainda assim é possível notar que, dado um estado inicial, ele gasta um intervalo de tempo

relevante até atingir o ponto de equilíbrio e também que o sinal de perturbação é capaz de gerar oscilações nas saídas do sistema.

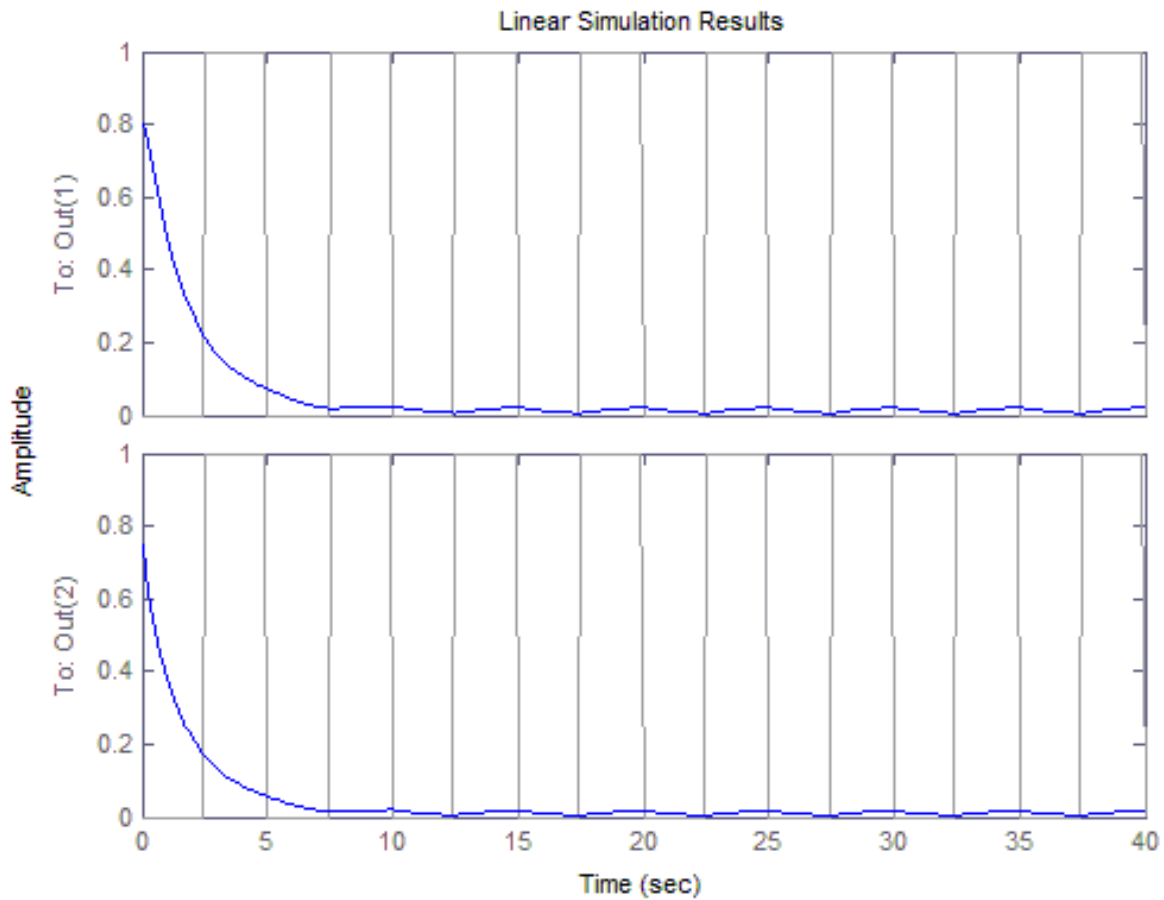


Figura 2 - Resposta do Sistema em Malha Aberta

Para o projeto do controlador, foi considerada uma folga de 1% em cima dos autovalores da matriz  $A$ , e desta forma a região  $D$  ficou definida da seguinte forma:

$$D = H_{\alpha,\beta} = \{x + jy \mid -5,814267 < x < -0,552024\}$$

A fim de obter um controlador capaz de tornar o sistema  $H_{\alpha,\beta}$  estável, o projeto do mesmo foi baseado nas LMIs (16) e (17). Inicialmente foi obtida a matriz  $P$  por meio do solver SeDuMi, o qual foi interfaceado pelo YALMIP (*Yet Another LMI Parser*). Posteriormente foram obtidos os ganhos do controlador, conforme a Equação (20). Todo esse processo foi realizado através do seguinte código:

```

P = sdpvar(2,2); W = sdpvar(2,2);
lmis = set(P > 0) + set(A*P + P*A' + B*W + W*B' + 2*alpha*P < 0) + set(-A*P - P*A' - B*W -
W*B' - 2*beta*P < 0);
opcoes = sdpsettings('verbose', 0, 'warning', 0, 'solver', 'sedumi');
solvesdp(lmis,[],opcoes);
[r,d] = checkset(lmis);
    if sum(r < 0) == 0
        disp('O sistema pode ser controlado')
        P = double(P)
        W = double(W);
        K = W*inv(P)
    else
        disp('O sistema NÃO pode ser controlado')
    end
end

```

$$P = \begin{bmatrix} 0.2603 & 0 \\ 0 & 0.2603 \end{bmatrix}$$

$$K = \begin{bmatrix} -48.0250 & -182.6378 \\ -182.6376 & 44.2576 \end{bmatrix}$$

A sequência do experimento consistiu na simulação da resposta do sistema em malha fechada, conforme a Equação (15). Para esta simulação também foi definido um estado inicial  $x_0 = [0.8 \ 0.7]$  e gerada uma onda quadrada para fazer o papel do sinal de perturbação. Tal simulação foi realizada através do seguinte código:

```

>> Acl = A+B*K;
>> modelo = ss(Acl,[],C,D);
>> xo = [0.8; 0.75];
>> [u1,t] = gensig('square',5,40,0.1);
>> u2 = u1;
>> u = [u1 u2];
>> lsim(modelo,u,t,xo)

```

A resposta do sistema em malha fechada é mostrada na Figura 4. É possível notar que o sistema busca o ponto de equilíbrio com mais agilidade e é bem mais estável quando está sujeito as perturbações.

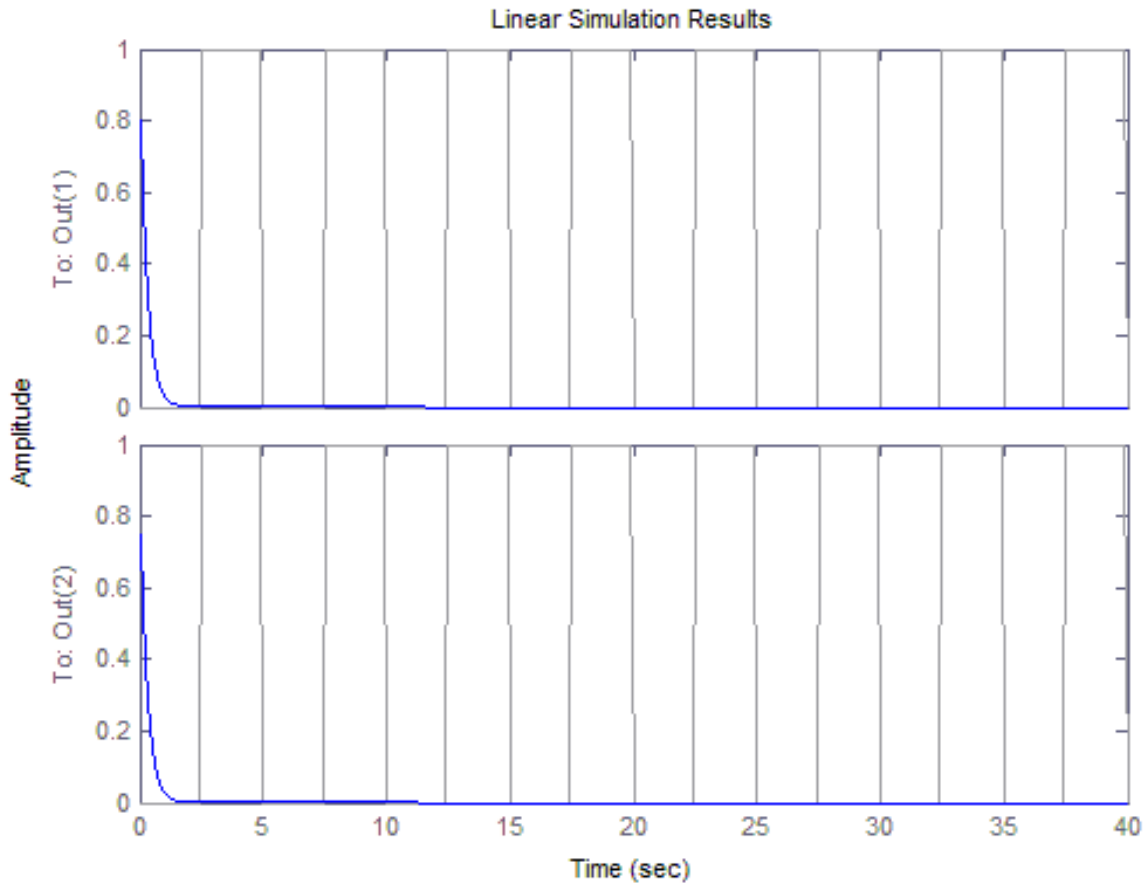


Figura 3 - Resposta do Sistema em Malha Fechada

## 5. CONCLUSÃO

Comparando a resposta do sistema em malha aberta com a resposta do mesmo em malha fechada, é possível concluir que o controlador projetado melhorou consideravelmente o comportamento do sistema.

As grandes virtudes do controlador robusto proposto para o sistema em questão são a sua capacidade de reduzir consideravelmente o tempo de estabilização do sistema dado um estado inicial e o seu desempenho frente às perturbações que o sistema está sujeito.

Sendo assim, é possível concluir que o critério da  $D$ -estabilidade garante o bom desempenho do controlador e que este conceito pode ser muito útil em outras aplicações

de sistemas. Vale também ressaltar que outros tipos de regiões  $D$ -estáveis podem ser exploradas a fim de proporcionar mais robustez ao sistema de controle.

Também é interessante ressaltar a eficiência das técnicas de controle moderno, como a própria modelagem no espaço de estados bem como a  $D$ -estabilidade, frente às técnicas de controle clássico. Embora a aplicação destas técnicas demande mais conhecimento sobre o sistema que será controlado, a assertividade e precisão do projeto garantem um controlador com ótimo desempenho, pois o sistema é tratado como um todo e não apenas com base na sua saída.

## REFERÊNCIAS BIBLIOGRÁFICAS

Ogata, K. **Engenharia de Controle Moderno**. 5ªEd, Pearson Educación, S.A., Madrid, 2010.

Ogata, K. **Engenharia de Controle Moderno**. 3ªEd, Prentice Hall, UpperSaddle River, New Jersey, 1998.

Guang-Ren Duan, Hai-Hua Yu. **LMIs in Control Systems Analysis, Design and Applications**. CRC Press Taylor & Francis Group, 2013.

Sara Pérez Izquieta. **Control De Tanques Acoplados**. Escuela Técnica Superior de Ingenieros Industriales y de Telecomunicacion. Pamplona, 28 de Junio de 2011.